

11. Apr ✓



۱۳۸۷/۱/۱۵

دانشکده علوم طبیعی
گروه زمین‌شناسی

پایان نامه

برای دریافت درجه دکتری در رشته زمین‌شناسی
گرایش زمین‌شناسی اقتصادی

عنوان

بررسی کانی‌شناسی، ژئوشیمی و ژئز نهشته‌های بوکسیتی - لاتریتی پرمین تا
تریاس در شمال‌غرب ایران

استاد راهنما

دکتر علی اصغر کلاگری



استادان مشاور

دکتر بهزاد حاج علیلو - دکتر احمد جهانگیری

۱۳۸۷/۱/۲۰

پژوهشگر

علی عابدینی

جمهستان ۱۳۸۷

۳۰۰
لقد يكمّل

مادر و مدر نزد کوارم
پ

و

همسر هم بانم

مشکر و قدردانی

از کارمندان و کارکنان دانشگاه علوم طبیعی و انجمنهای تبریز بویژه آقایان سرتیپ زاده، جهانیار، مسیب زاده، سالاک سپر، قادری، جنپور و خانم همتداری، سمساری و اجلالی مشکر من عایم. از عایمی دوستانم بویژه آقایان اشرفی، سیاه چشم، قوی، همتی، آزادی، عربانی، ادویی، احمدزاده، سیونز، بیکنباودی، نادی زاده، پیر محمدی، نذیری، کرد، حامدی، آقا زاده، عقری و خانم دکتر حجاج حلی اوغلی، ذاکری، نجفیانی و آمنگری که به نوحی مراد در تهیه و تدوین این پایان نامه مباری رساندند مشکر من نیایم.

از پرورداد عزیزم که هرچه دارم میدیون آنها می دانم، پسکرم نیام و از خداوند منان برایشان طول عمر و سلامتی خواستارم.
از برادران و خواهرم، خانواده آفای تربتی و پنهانی دایی بزرگوارم جناب آفای مهندس نوری که هنوزاره میار یکرو مشوق من در تمامی مرافق زندگی و تحصیل اتمم بودند
بسیار پاسکارم و از خداوند معال آرزوی سلامتی و موافقت برای این عزیزان خواستارم.
دنیا پات از همسرم که مشوقم بوده و مراد این بدبختی خود را بی نهایت سپاسگزارم.

| | |
|---|------------------------------|
| نام خانوادگی: عابدینی | نام: علی |
| عنوان پایان نامه: بررسی کانی شناسی، ژئوشیمی و ژئر نهشته های بوکسیتی - لاتریتی پرمین تا تریاس در شمالغرب ایران | |
| استاد راهنمای: دکتر علی اصغر کلاگری | |
| استادان مشاور: دکتر بهزاد حاج علیلو - دکتر احمد جهانگیری | |
| دانشگاه: تبریز | رشته: زمین شناسی - اقتصادی |
| تعداد صفحه: ۱۸۴ | تاریخ فارغ التحصیلی: ۸۷/۱۰/۱ |
| دانشکده: علوم طبیعی | |
| کلید واژه ها: بوکسیت، کانی سازی، منشاء، توزیع عناصر، ژئر، شمالغرب ایران | |
| چکیده وقفه های رسوبگذاری از زمان پرمین تا تریاس بواسطه حضور لايهها و عدسی هایی از کانسنگ های بوکسیتی و لاتریتی در شمالغرب ایران مشخص می شود. این کانسنگ ها با گسترشی بیش از ۸۶ کیلومتر در داخل سازند روت و در مرز بین سازند های روت و الیکا توسعه یافته اند. از نظر پترو گرافیکی، این کانسنگ ها بافت های پلیتومورفیک، میکرو گرانولار، پانایدیوموفیک-گرانولار، پورفیری دروغین، اوئیدی، پیزوئیدی، اسپاستوئیدی، جریانی-کلومورفیکی، برشی دروغین، پلتی، نودولار، کلوفرم، اسکلتی، اسفنجی و اشکال سایه فشاری را نشان می دهند. این سیماهای بافتی پیشنهاد می کنند که این کانسنگ ها متholm دگر شکلی های ساختاری شده و از ژئر بر جازا برخوردارند. بررسی های کانی شناسی نشان می دهند که دیاپور، بوهیت، کرون دوم، مگنتیت، هماتیت، گوتیت، روئیل، آناتاز، سودو- روئیل، کلینو کلر، مونت موریلوفیت، ایلیت، پروفیلیت، تالک، کائولینیت، ناکریت، دیکیت، کوارتز، فلدسپار پاتاسیم، پلازیو کلائز، موسکویت، کلریت، کلریتوئید، پیرو کسن، آمفیبول، ژیپس، آندریت، کلسیت، فلوریت، شاموزیت و کالبیوفیلت کانی های تشکیل دهنده این نهشته ها می باشند. بر اساس نوع و مقادیر کانی های سازنده، هفت تیپ کانیایی در این نهشته ها می توانند تشخیص داده شوند که عبارتند از: (۱) کانسنگ آهن بوکسیتی، (۲) کانسنگ آهن رسی بوکسیتی، (۳) بوکسیت غنی از آهن، (۴) بوکسیت، (۵) بوکسیت آهن پایین، (۶) بوکسیت رسی و (۷) رس بوکسیتی. مطالعات کانی شناسی نشان می دهند که آب های سطحی با ماهیت اسیدی- اکسیدی و آب های زیرزمینی با ماهیت بازی- احیاء نقش مهمی در توسعه و تکامل این نهشته ها ایفا نموده اند. با توجه به شواهد صحرایی، یافته های کانی شناسی و بررسی های ژئوشیمیایی، سنگ های بازالتی، آندزیتی و دیابازی منطقه مورد مطالعه محتمل ترین سنگ مادر برای این نهشته های بوکسیتی می باشند. تلفیق یافته های بدست آمده از کانی شناسی و ژئوشیمی تغییر جرم نشان می دهند که بوکسیتی شدن در شمالغرب ایران نتیجه ای از اکسیداسیون پیریت و شکسته شدن کانی های چون فلدسپار، پیرو کسن، آمفیبول، ایلمنیت، الیوین، و آپاتیت است. تلفیق نتایج بدست آمده نشان می دهد که تغییرات بافتی، ترکیب شیمیایی مواد اولیه، درجه تفریق Al از Fe و Si، فرایندهای شستشو- جذب سطحی، رویش توسط اکسیدها و هیدروکسیدهای فلزی، تغییرات در شیمی محلول های هوازده کننده (مانند افزایش pH)، شدت زهکشی، حضور کمپلکس های کربناتی و کلوئیدهای ارگانیکی، شدت دگر زانی، هتروژنی سنگ های مادر، کنترل کانیایی، ثبت در فازهای نئومورف، حضور در فازهای مقاوم، و نوسانات سطح سفره آب های زیرزمینی نقش خیلی بارزی در توسعه عناصر در این نهشته ها ایفا نموده اند. ملاحظات ژئوشیمیایی بیشتر نشان می دهد که تمرکز REEها توسط کانی های هماتیت، گوتیت، توزیع عناصر در این نهشته ها ایفا نموده اند. روتل کانیایی، شیوه به کارستی مدیترانه ای هستند و واحد های فقیر از آهن آنها خصوصیات مناسبی برای استفاده در صنایع دیر گذاز را دارا هستند. | |

فهرست مطالب

| | |
|------|--|
| صفحه | |
| ۱ | مقدمه |
| | فصل اول: بررسی منابع (پایه‌های نظری و پیشینه پژوهش) |
| ۲ | ۱- تعاریف و مفاهیم اولیه |
| ۳ | ۲- کاربرد |
| ۴ | ۳- انواع کاسارهای بوکسیت |
| ۷ | ۴- کانی شناسی |
| ۹ | ۵- بافت |
| ۱۲ | ۶- ژنر بوکسیت |
| ۱۲ | ۷- عوامل ژنتیکی در تشکیل کاسارهای بوکسیت |
| ۱۲ | ۸- آب و هوا |
| ۱۲ | ۹- سنگ مادر |
| ۱۳ | ۱۰- پوشش گیاهی |
| ۱۳ | ۱۱- شرایط زیر سطحی |
| ۱۳ | ۱۲- توپوگرافی |
| ۱۳ | ۱۳- تکتونیک |
| ۱۴ | ۱۴- زمان |
| ۱۴ | ۱۵- حفاظت و نگهداری |
| ۱۴ | ۱۶- توزیع مکانی و زمانی و وضعیت تولید بوکسیت در دنیا |
| ۱۶ | ۱۷- پراکندگی ذخایر بوکسیتی در ایران |
| ۱۷ | ۱۸- پیشینه پژوهش |
| ۲۰ | ۱۹- هدف از مطالعه |

فصل دوم: مواد و روشها

| | |
|----|---|
| ۲۲ | ۱- مشخصات، موقعیت جغرافیایی و راههای دسترسی |
| ۲۵ | ۲- روش کار و سیر مطالعاتی |
| ۲۵ | ۳- مطالعات کتابخانه‌ای |
| ۲۷ | ۴- مطالعات صحرایی |
| ۲۸ | ۵- مطالعات آزمایشگاهی |

فصل سوم: نتایج و بحث

| | |
|----|------------------------------------|
| ۳۱ | ۱- مطالعات صحرایی |
| ۳۱ | ۲- شرق و شمال شرق بوکان |
| ۳۸ | ۳- غرب میاندواب |
| ۴۱ | ۴- جنوب شرق و شمال غرب مراغه |
| ۴۲ | ۵- غرب ارومیه |

| | |
|-----|--|
| ۴۵ | ۳-۱-۵- شمال غرب و جنوب شرق مهاباد |
| ۴۸ | ۳-۱-۶- شمال سقز |
| ۵۱ | ۳-۱-۷- شمال شرق، جنوب شرق، شمال شرق و شمال غرب شاهین دژ |
| ۵۱ | ۳-۱-۷-۱- شمال غرب شاهین دژ |
| ۵۲ | ۳-۱-۷-۲- جنوب شرق شاهین دژ |
| ۵۶ | ۳-۱-۷-۳- شرق و شمال شرق شاهین دژ |
| ۵۷ | ۳-۱-۸- بحث و نتیجه گیری بر اساس مطالعات صحرایی |
| ۵۹ | ۳-۲- مطالعات پترو گرافی |
| ۵۹ | ۳-۲-۱- سازند درود |
| ۵۹ | ۳-۲-۲- سازند روته |
| ۶۱ | ۳-۲-۳- سازند الیکا |
| ۶۱ | ۳-۴-۲- پترو گرافی سنگ های آذرین و آذرآواری |
| ۶۱ | ۳-۴-۲-۱- سنگ های دیبازی |
| ۶۱ | ۳-۴-۲-۲- سنگ های آندزیتی - بازالتی |
| ۶۳ | ۳-۴-۲-۳- توف ها |
| ۶۳ | ۳-۵- پترو گرافی کانسنگ های بوکسیتی |
| ۶۵ | ۳-۶- بحث و نتیجه گیری بر اساس شواهد صحرایی |
| ۷۱ | ۳- کانی شناسی |
| ۷۱ | ۳-۱- معرفی کانی ها و پاراژنرهای کانیابی در نهشته های بوکسیتی |
| ۷۷ | ۳-۲- تیپ های کانیابی |
| ۸۷ | ۳-۳- جنبه های ژنتیکی کانی سازی |
| ۹۱ | ۳-۴- شرایط فیزیکو شیمیابی تشکیل نهشته های بوکسیتی پرمین تا تریاس در شمال غرب ایران |
| ۹۲ | ۴- ژئوشیمی |
| ۹۲ | ۴-۱- پروتولیت نهشته ها |
| ۱۰۳ | ۴-۲- تیپ های کانسنگ |
| ۱۰۳ | ۴-۳-۳- تحرک و توزیع دوباره عناصر در طی فرایندهای هوازدگی |
| ۱۰۸ | ۴-۱- عناصر اصلی و فرعی |
| ۱۱۷ | ۴-۲- عناصر لیتوفیل درشت یون |
| ۱۲۵ | ۴-۳- عناصر با قدرت میدان بالا |
| ۱۲۹ | ۴-۴- عناصر جزئی عبوری |
| ۱۳۳ | ۴-۵- عناصر کمیاب خاکی |
| ۱۳۳ | ۵-۱- الگوی توزیع عناصر کمیاب خاکی در طی فرایندهای بوکسیتی شدن |
| ۱۳۵ | ۵-۲- تغییرات جرم HREE و LREE ها در طی فرایندهای بوکسیتی شدن |
| ۱۳۵ | ۵-۳- کانی های میزان عناصر خاکی کمیاب |
| ۱۴۱ | ۵-۴- آنومالی های Eu و Ce در پروفیل های بوکسیتی |
| ۱۴۶ | ۵-۵- تیپ نهشته های بوکسیتی پرمین تا تریاس در شمال غرب ایران |
| ۱۴۹ | ۶-۳- ارزیابی اقتصادی - کاربردی |

فصل چهارم: خلاصه، نتیجه گیری و پیشنهادات

| | | |
|-----|-------|---|
| ۱۵۷ | | ۴-۱-۴- مقدمه |
| ۱۵۷ | | ۴-۱-۱- بررسی های صحرایی |
| ۱۵۸ | | ۴-۲-۱- بررسی های پتروگرافی |
| ۱۶۰ | | ۴-۳-۱- مطالعات کانی شناسی |
| ۱۶۰ | | ۴-۴-۱- مطالعات ژئوشیمیایی |
| ۱۶۱ | | ۴-۵-۱- تیپ نهشته ها و ارزیابی اقتصادی - کاربردی |
| ۱۶۲ | | ۴-۶-۱- پیشنهادات |
| ۱۶۳ | | منابع |
| | | ضمائیم |
| | | چکیده انگلیسی |

فهرست جداول

صفحه

فصل اول: بررسی منابع (پایه‌های نظری و پیشینه پژوهش)

| | |
|---|--|
| ۴ | ۱- متوسط ترکیب شیمیایی بوکسیت |
| ۶ | ۲- توزیع سنی تناز بوكسیت در زون‌های بوکسیت کارستی جهان |
| ۶ | ۳- توزیع تیپ نهشته‌ها در زون‌های بوکسیتی به همراه تنازهای مربوطه |

فصل سوم: نتایج و بحث

| | |
|-----|---|
| ۶۰ | ۱-۲-۳- برخی از فسیل‌های شناسایی شده در واحدهای کربناتی سازند روته توسط پژوهشگران مختلف |
| ۶۸ | ۲-۲-۳- توزیع بافت‌ها در واحدهای مختلف بوکسیتی در نهشته‌های بوکسیتی پرمین تا تریاس |
| ۷۲ | ۳-۱- نحوه توزیع کانی‌های سازنده نهشته‌های بوکسیتی به تفکیک منطقه در شمال غرب ایران |
| ۷۴ | ۳-۲-۳- درصد توزیع پاراژنزهای کانیایی آلومینای آزاد به تفکیک منطقه در نهشته‌های بوکسیتی |
| ۷۵ | ۳-۴-۳- درصد توزیع پاراژنزهای کانیایی آهن به تفکیک منطقه در نهشته‌های بوکسیتی |
| ۷۶ | ۳-۵-۳- درصد توزیع پاراژنزهای کانیایی سیلیکاتی به تفکیک منطقه در نهشته‌های بوکسیتی |
| ۷۹ | ۳-۶-۳- مقادیر نظری اکسیدها و LOI کانی‌های تشکیل دهنده واحدهای بوکسیتی |
| ۸۰ | ۳-۷-۳- مقادیر نورماتیو واحدهای بوکسیتی و کائولنی پروفیل اول و دوم شمال شرق بوکان |
| ۸۱ | ۳-۸-۳- مقادیر نورماتیو واحدهای بوکسیتی و کائولنی جنوب شرق مراغه، غرب میاندواب |
| ۸۲ | ۳-۹-۳- مقادیر نورماتیو واحدهای بوکسیتی و کائولنی جنوب شرق شاهیندژ، جنوب شرق مهاباد و |
| ۸۳ | ۳-۱۰-۳-۳- درصد توزیع تیپ‌های کانیایی در نهشته‌های بوکسیتی پرمین تا تریاس در شمال غرب ایران |
| ۸۷ | ۳-۱۱-۳-۳- درصد توزیع تیپ‌های کانیایی در نهشته‌های بوکسیتی پرمین تا تریاس در شمال غرب ایران بر |
| ۹۲ | ۳-۱۲-۴-۳- مقایسه مقادیر عنصر کمیاب خاکی در نهشته‌های بوکسیتی پرمین تا تریاس در شمال غرب |
| ۹۵ | ۳-۱۳-۴-۳- ضرایب انباشتگی عناصر جزئی (R) برای تیپ‌های سنگی مختلف (Shaw, 1964) |
| ۹۵ | ۳-۱۴-۴-۳- مقادیر متوسط عناصر Ni, V, Cr, Zn, Ga, Zr و Hf برای پروفیل‌های مورد مطالعه |
| ۹۵ | ۳-۱۵-۴-۳- مقادیر ضرایب انباشتگی عناصر جزئی در پروفیل‌های مختلف بوکسیتی در شمال غرب ایران |
| ۹۶ | ۳-۱۶-۴-۳- مقایسه مقادیر ضرایب انباشتگی عناصر جزئی در برخی از کانسارهای بوکسیت کارستی |
| ۹۸ | ۳-۱۷-۴-۳- مقادیر عناصر Cr, Ga و Zr پروفیل‌های بوکسیتی پرمین تا تریاس مورد مطالعه |
| ۹۹ | ۳-۱۸-۴-۳- مقایسه توزیع مقادیر عناصر Cr, Ga و Zr نسبت به هم در کانسارهای بوکسیت کارستی |
| ۱۰۵ | ۳-۱۹-۴-۳- خلاصه مشخصات شاخص‌های هوازدگی استفاده شده در این مطالعه |
| ۱۰۵ | ۳-۲۰-۴-۳- مقادیر مینیمم و ماکزیمم شاخص‌های هوازدگی استفاده شده در این مطالعه برای پروفیل‌های |
| ۱۰۷ | ۳-۲۱-۴-۳- محظوظ تغیرات عناصر بی‌تحرک در پروفیل‌های مورد مطالعه. مقادیر اکسیدها |
| ۱۳۶ | ۳-۲۲-۴-۳- ضرایب همبستگی رتبه‌ای بین عناصر خاکی کمیاب و برخی از عناصر اصلی، فرعی و جزئی |
| ۱۳۷ | ۳-۲۳-۴-۳- ضرایب همبستگی رتبه‌ای بین عناصر خاکی کمیاب و برخی از عناصر اصلی، فرعی و جزئی |
| ۱۳۸ | ۳-۲۴-۴-۳- ضرایب همبستگی رتبه‌ای بین عناصر خاکی کمیاب و برخی از عناصر اصلی، فرعی و جزئی |
| ۱۳۹ | ۳-۲۵-۴-۳- ضرایب همبستگی رتبه‌ای بین عناصر خاکی کمیاب و برخی از عناصر اصلی، فرعی و جزئی |
| ۱۴۹ | ۳-۲۶-۴-۳- ضرایب همبستگی رتبه‌ای بین عناصر خاکی کمیاب و برخی از عناصر اصلی، فرعی و جزئی |
| ۱۴۰ | ۳-۲۷-۴-۳- ضرایب همبستگی رتبه‌ای بین عناصر خاکی کمیاب و برخی از عناصر اصلی، فرعی و |
| ۱۴۰ | ۳-۲۸-۴-۳- ضرایب همبستگی رتبه‌ای بین عناصر خاکی کمیاب و برخی از عناصر اصلی، فرعی |
| ۱۴۸ | ۳-۲۹-۴-۳- مهترین مشخصات انواع کانسارهای بوکسیت کارستی (Bardossy, 1982) |

- ۱۵۲ ۳-۶-۱- میزان تمرکز عناصر کمیاب خاکی و ایتریم در قاعده نهشته‌های بوکسیتی
- ۱۵۳ ۳-۶-۲- متوسط ترکیب شیمیایی اکسیدهای اصلی واحدهای مختلف بوکسیتی پرمین تا تریاسن
- ۱۵۴ ۳-۶-۳- درجات تجاری ترکیب شیمیایی بوکسیت‌ها برای مصارف مختلف صنعتی
- ۱۵۴ ۳-۶-۴- ترکیب شیمیایی ایده‌آل بوکسیت به عنوان سنگ اولیه آجر و مواد دیرگداز (Manning, 1995)
- ۱۵۵ ۳-۶-۵- مواد اولیه، ترکیب شیمیایی و کاربردها دیرگدازها (Halvac, 1983)

فهرست اشکال

صفحه

فصل اول: بررسی منابع (پایه‌های نظری و پیشینه پژوهش)

| | |
|----|---|
| ۵ | - توزیع جغرافیایی کانسارهای بوکسیت کارستی و لاتریتی در دنیا |
| ۷ | -۲-a- انواع تیپ‌های کانیایی در کانسارهای بوکسیتی بر اساس توزیع کانیهای رسی، آهندار، و آلومینیوم |
| ۸ | -۲-b- انواع تیپ‌های کانیایی در کانسارهای بوکسیتی، فربنی و کاٹلنی و ترکیب حد واسط آنها بر اساس |
| ۱۵ | -۳-۱- تغییرات آلومینا در برابر میزان ذخیره برای ۸۸ کانسار بوکسیت لاتریتی و ۳۴ کانسار بوکسیت |
| ۱۵ | -۴-۱- توزیع جهانی ذخایر بوکسیت بر اساس میزان ذخیره و آلومینای بازیافت در سال ۲۰۰۱ میلادی..... |
| ۱۶ | -۵- موقعیت جغرافیایی برخی از نهشته‌های بوکسیتی در ایران |

فصل دوم: مواد و روشها

| | |
|----|--|
| ۲۳ | -۱-۲- موقعیت چهارگوش‌های زمین‌شناسی مهاباد، ارومیه و تکاب در شمال‌غرب ایران |
| ۲۴ | -۲- موقعیت جغرافیایی نهشته‌های بوکسیتی پرمین تا تریاس در شمال‌غرب ایران..... |
| ۲۵ | -۳-۲- راههای دسترسی به نهشته‌های بوکسیتی غرب میاندواب |
| ۲۵ | -۴-۲- راههای دسترسی به نهشته‌های بوکسیتی (a) شمال غرب و (b) جنوب شرق مهاباد |
| ۲۶ | -۵- راههای دسترسی به نهشته‌های بوکسیتی پرمین تا تریاس در (a) جنوب شرق و شرق شاهین دژ و (b) شمال شرق..... |
| ۲۷ | -۶-۲- راههای دسترسی به نهشته‌های بوکسیتی پرمین تا تریاس در شرق و شمال شرق بوكان |
| ۲۸ | -۷-۲- راههای دسترسی به نهشته‌های بوکسیتی پرمین در (a) شمال سفز و (b) غرب ارومیه |
| ۲۹ | -۸-۲- راههای دسترسی به نهشته‌های بوکسیتی پرمین شمال‌غرب و جنوب شرق مراغه |
| ۳۰ | -۹-۲- نمایهای از محل های نمونه‌برداری نهشته‌های بوکسیتی پرمین تا تریاس در شمال‌غرب ایران..... |

فصل سوم: نتایج و بحث

| | |
|----|--|
| ۳۳ | -۱-۱-۳- موقعیت نهشته‌های بوکسیتی در واحدهای کربناتی- شیلی پرمین تا تریاس در..... |
| ۳۵ | -۲-۱-۳- تصاویر صحرایی از ویژگی‌های زمین‌شناسی نهشته‌های بوکسیتی و سنگ‌های درونگیر آنها..... |
| ۳۶ | -۳-۱-۳- ستون چینه شناسی پروفیل مورد مطالعه در شمال شرق بوكان که در آن واحدهای بوکسیتی..... |
| ۳۶ | -۴-۱-۳- ستون چینه شناسی پروفیل‌های مورد مطالعه در شرق شرق که در آن نحوه قرارگیری واحدهای..... |
| ۳۷ | -۵-۱-۳- تصاویر صحرایی از ویژگی‌های زمین‌شناسی نهشته‌های بوکسیتی و سنگ‌های درونگیر آنها در |
| ۳۸ | -۶-۱-۳- ستون چینه شناسی پروفیل مورد مطالعه در نهشته‌های بوکسیتی پرم- تریاس در شمال شرق شرق..... |
| ۳۹ | -۷-۱-۳- نقشه زمین‌شناسی نهشته‌های بوکسیتی پرم- تریاس به همراه سنگ‌های درونگیر در غرب میاندواب..... |
| ۴۰ | -۸-۱-۳- ستون چینه شناسی پروفیل بوکسیتی مورد مطالعه در غرب میاندواب که |
| ۴۰ | -۹-۱-۳- تصاویر صحرایی از ویژگی‌های زمین‌شناسی نهشته‌های بوکسیتی |

| | |
|----|--|
| ۴۲ | - نقشه زمین‌شناسی نهشته‌های بوکسیتی پرمن به همراه سنگ‌های درونگیر در..... |
| ۴۳ | - ستون چینه شناسی پروفیل مورد مطالعه در نهشته‌های بوکسیتی پرمو-تریاپس در جنوب شرق مراغه |
| ۴۴ | - موقعیت نهشته‌های لاتریتی در غرب ارومیه، (a) خوشکو، (b) گچی و (c) نی‌چالان-یسان-کریم آباد..... |
| ۴۵ | - ستون چینه شناسی پروفیل لاتریتی های مورد مطالعه در محدوده گچی (غرب ارومیه)..... |
| ۴۶ | - موقعیت نهشته‌های بوکسیتی کربناتی پرمن در (a) جنوب شرق و (b) شمال‌غرب مهاباد |
| ۴۷ | - تصاویر صحرایی از ویژگی‌های زمین‌شناسی نهشته‌های بوکسیتی پرمن در..... |
| ۴۸ | - ستون چینه شناسی پروفیل مورد مطالعه (به شکل ۱۴-۱-۳ مراجعه شود) در نهشته‌های بوکسیتی |
| ۴۹ | - موقعیت نهشته‌های بوکسیتی در واحدهای کربناتی پرمن در شمال سقز..... |
| ۵۰ | - تصاویر صحرایی از ویژگی‌های زمین‌شناسی نهشته‌های بوکسیتی پرمن در سقز..... |
| ۵۱ | - ستون چینه شناسی پروفیل های مورد مطالعه (به شکل ۱۷-۱-۳ مراجعه شود) در نهشته‌های بوکسیتی سقز |
| ۵۲ | - نقشه زمین‌شناسی (a) شرق، (b) جنوب شرق، (c) شمال شرق و (d) شمال‌غرب شاهین‌دژ |
| ۵۳ | - تصاویر صحرایی از ویژگی‌های زمین‌شناسی نهشته‌های بوکسیتی در شاهین‌دژ |
| ۵۴ | - ستون چینه شناسی پروفیل مورد مطالعه (به شکل ۱۷-۱-۳ مراجعه شود) در نهشته‌های بوکسیتی |
| ۵۵ | - میکروگراف‌های سنگ‌های درونگیر نهشته‌های بوکسیتی در شاهین‌دژ |
| ۵۶ | - ستون چینه شناسی پروفیل مورد مطالعه (به شکل ۱۷-۱-۳ مراجعه شود) در نهشته‌های بوکسیتی |
| ۵۷ | - میکروگراف‌هایی از بافت‌های کانسنگ‌های بوکسیتی و سنگ‌های آذرین |
| ۵۸ | - فوگراف‌هایی از واحدهای بافت ساز در کانسنگ‌های بوکسیتی |
| ۵۹ | - میکروگراف‌هایی از توزیع الگوهای بافتی در کانسنگ‌های بوکسیتی |
| ۶۰ | - میکروگراف‌هایی از نحوه شکستگی‌ها در کانسنگ‌های بوکسیتی |
| ۶۱ | - ترکیب کانی‌شناسی واحدهای بوکسیتی پرمن تا تریاپس در شمال غرب ایران |
| ۶۲ | - انواع تیپ‌های کانیایی حاضر در نهشته‌های بوکسیتی پرمن تا تریاپس در شمال غرب ایران بر اساس |
| ۶۳ | - نحوه توزیع تیپ‌های کانیایی در پروفیل‌های بوکسیتی مورد مطالعه در نهشته‌های بوکسیتی |
| ۶۴ | - انواع تیپ‌های کانیایی حاضر در نهشته‌های بوکسیتی پرمن تا تریاپس در شمال غرب ایران |
| ۶۵ | - نحوه توزیع تیپ‌های کانیایی در پروفیل‌های بوکسیتی موردنظر در نهشته‌های بوکسیتی |
| ۶۶ | - انواع تیپ‌های کانیایی حاضر در نهشته‌های بوکسیتی پرمن تا تریاپس در شمال غرب ایران |
| ۶۷ | - نحوه توزیع تیپ‌های کانیایی در پروفیل‌های بوکسیتی با توجه به حیطه پایداری |
| ۶۸ | - دیاگرام Eh-pH محیط‌های اتمسفریک طبیعی با توجه به حیطه پایداری |
| ۶۹ | - الگوی توزیع مقادیر متوسط عناصر کمیاب خاکی (REEs) نورمالیزه شده نسبت به ترکیب |
| ۷۰ | - موقعیت‌های نهشته‌های بوکسیتی کارستی و لاتریتی آهن پایین و بالا و سنگ‌مادرهای مختلف آنها |
| ۷۱ | - تغییرات ضرایب انباشتگی عناصر جزئی (R) پروفیل‌های بوکسیتی پرمن تا تریاپس |
| ۷۲ | - موقعیت پروفیل‌های بوکسیتی پرمن تا تریاپس در شمال غرب ایران و مقایسه |
| ۷۳ | - موقعیت کانسنگ‌های بوکسیتی ۵ پروفیل مورد مطالعه (جنوب شرق مراغه، جنوب شرق مهاباد، |
| ۷۴ | - موقعیت کانسنگ‌های بوکسیتی ۵ پروفیل مورد مطالعه (جنوب شرق مراغه، جنوب شرق مهاباد، |
| ۷۵ | - موقعیت سنگ‌های بازالتی و دیابازی بر روی خط روند هوازدگی کانسنگ‌های بوکسیتی |

| | |
|-----|--|
| ۱۰۳ | - موقعیت کانسنگ‌های بوکسیتی پروفیل‌های مورد مطالعه در نمودار سه متغیره Fe_2O_3 , SiO_2 و Al_2O_3 |
| ۱۰۴ | - موقعیت کانسنگ‌های بوکسیتی پروفیل‌های مورد مطالعه در نمودار سه متغیره Fe_2O_3 , SiO_2 و Al_2O_3 |
| ۱۰۴ | - موقعیت کانسنگ‌های بوکسیتی پروفیل‌های مورد مطالعه در نمودار سه متغیره Fe_2O_3 , SiO_2 و Al_2O_3 |
| ۱۰۹ | - تغییرات جرم Al_2O_3 در طی فرایندهای بوکسیتی شدن در پروفیل‌های مورد مطالعه |
| ۱۱۰ | - تغییرات جرم TiO_2 در طی فرایندهای بوکسیتی شدن در پروفیل‌های مورد مطالعه |
| ۱۱۱ | - تغییرات جرم SiO_2 در طی فرایندهای بوکسیتی شدن در پروفیل‌های مورد مطالعه |
| ۱۱۲ | - تغییرات جرم Fe_2O_3 در طی فرایندهای بوکسیتی شدن در پروفیل‌های مورد مطالعه |
| ۱۱۳ | - تغییرات جرم P_2O_5 در طی فرایندهای بوکسیتی شدن در پروفیل‌های مورد مطالعه |
| ۱۱۴ | - تغییرات جرم MnO در طی فرایندهای بوکسیتی شدن در پروفیل‌های مورد مطالعه |
| ۱۱۵ | - تغییرات جرم MgO در طی فرایندهای بوکسیتی شدن در پروفیل‌های مورد مطالعه |
| ۱۱۶ | - تغییرات جرم Na_2O در طی فرایندهای بوکسیتی شدن در پروفیل‌های مورد مطالعه |
| ۱۱۷ | - تغییرات جرم CaO در طی فرایندهای بوکسیتی شدن در پروفیل‌های مورد مطالعه |
| ۱۱۸ | - تغییرات جرم K_2O در طی فرایندهای بوکسیتی شدن در پروفیل‌های مورد مطالعه |
| ۱۱۹ | - تغییرات جرم Rb در طی فرایندهای بوکسیتی شدن در پروفیل‌های مورد مطالعه |
| ۱۲۰ | - تغییرات جرم Si در طی فرایندهای بوکسیتی شدن در پروفیل‌های مورد مطالعه |
| ۱۲۱ | - تغییرات جرم Ba در طی فرایندهای بوکسیتی شدن در پروفیل‌های مورد مطالعه |
| ۱۲۲ | - تغییرات جرم U در طی فرایندهای بوکسیتی شدن در پروفیل‌های مورد مطالعه |
| ۱۲۳ | - تغییرات جرم Th در طی فرایندهای بوکسیتی شدن در پروفیل‌های مورد مطالعه |
| ۱۲۴ | - تغییرات جرم Hf در طی فرایندهای بوکسیتی شدن در پروفیل‌های مورد مطالعه |
| ۱۲۵ | - تغییرات جرم Zr در طی فرایندهای بوکسیتی شدن در پروفیل‌های مورد مطالعه |
| ۱۲۶ | - تغییرات جرم Nb در طی فرایندهای بوکسیتی شدن در پروفیل‌های مورد مطالعه |
| ۱۲۷ | - تغییرات جرم Y در طی فرایندهای بوکسیتی شدن در پروفیل‌های مورد مطالعه |
| ۱۲۸ | - تغییرات جرم Ni در طی فرایندهای بوکسیتی شدن در پروفیل‌های مورد مطالعه |
| ۱۲۹ | - تغییرات جرم Co در طی فرایندهای بوکسیتی شدن در پروفیل‌های مورد مطالعه |
| ۱۳۰ | - تغییرات جرم V در طی فرایندهای بوکسیتی شدن در پروفیل‌های مورد مطالعه |
| ۱۳۱ | - تغییرات جرم Cr در طی فرایندهای بوکسیتی شدن در پروفیل‌های مورد مطالعه |
| ۱۳۲ | - الگوی تغییرات عناصر کمیاب خاکی در کانسنگ‌های بوکسیتی پروفیل‌های مورد مطالعه |
| ۱۳۳ | - تغییرات جرم LREE‌ها در طی فرایندهای بوکسیتی شدن در پروفیل‌های مورد مطالعه |
| ۱۳۴ | - تغییرات جرم HREE‌ها در طی فرایندهای بوکسیتی شدن در پروفیل‌های مورد مطالعه |
| ۱۴۱ | - همبستگی بین Nb با TiO_2 در کانسنگ‌های بوکسیتی پروفیل‌های مورد مطالعه |
| ۱۴۲ | - همبستگی بین عناصر (a) $Ce-Th$, (b) P_2O_5-Ba , (c) $P_2O_5-Na_2O$ و (d) $Ce-Th$ در پروفیل‌های مورد مطالعه |

| | | |
|-----|---|--------|
| ۱۴۲ | - کانی‌های میزان احتمالی LREE‌ها و HREE‌ها در نهشته‌های بوکسیتی پرمین تا تریاس..... | ۳۹-۴-۳ |
| ۱۴۴ | - الگوی تغییرات آنومالی‌های Ce در واحدهای بوکسیتی پروفیل‌های مورد مطالعه | ۴۰-۴-۳ |
| ۱۴۴ | - الگوی تغییرات آنومالی‌های Ce در ۲۵ درجه سانتیگراد و فشار ۱ کیلوبار..... | ۴۱-۴-۳ |
| ۱۴۵ | - الگوی تغییرات آنومالی‌های Eu در واحدهای بوکسیتی پروفیل‌های مورد مطالعه | ۴۲-۴-۳ |
| ۱۴۶ | - مقطع قائم تیپیک در کانسارهای بوکسیت لاتریتی (Bardossy and Aleva, 1990) | ۱-۵-۳ |
| ۱۴۹ | - الگوی تغییرات عناصر اصلی و فرعی تشکیل دهنده نهشته‌های بوکسیتی پرمین تا تریاس نسبت..... | ۱-۶-۳ |
| ۱۵۰ | - الگوی پراکندگی کانسنسگ‌های بوکسیتی پرمین تا تریاس در شمال غرب ایران در نمودار سه متغیره | ۲-۶-۳ |
| ۱۵۱ | - نمودارهای دو متغیره (a) $\text{Al}_2\text{O}_3-\text{SiO}_2$ و (b) $\text{Al}_2\text{O}_3-\text{Fe}_2\text{O}_3$ در طی..... | ۳-۶-۳ |
| ۱۵۶ | - موقعیت واحدهای بوکسیتی غنی از سیلیس و آلومینیوم و کائولنی پرمین تا تریاس شمال غرب در..... | ۴-۶-۳ |

مقدمه

بوکسیت کانسنگ آلومینا بوده و دارای مصارف زیادی در صنعت می‌باشد. از مهمترین مصارف این نوع کانسنگ می‌توان به استفاده از آن در استخراج فلز آلمینیوم، گالیوم، عناصر کمیاب خاکی و ژرمانیوم، صنایع نسوز، تهیه ساینده‌ها، تولید سیمان، صنایع شیمیایی، صنعت فولاد و صنعت نفت اشاره نمود. با توجه به نیاز روز افزون صنایع مختلف کشور به این کانسنگ و عدم خودکفایی کشور در تامین این ماده معدنی، ضرورت اکتشاف و شناسایی کاسارهای جدید بوکسیتی در کشور بیش از هر زمان دیگری احساس می‌شود. از طرفی قرارگیری ایران بر روی کمرنگ بوکسیت کارستی ایرانو-هیمالیا احتمال اکتشاف و شناسایی کاسارهای جدید بوکسیتی در کشور را دو چندان می‌نماید.

با توجه به تحقیقات انجام شده نهشته‌های بوکسیتی در ایران از نظر توزیع جغرافیایی به ۴ ناحیه، (۱) شمالغرب ایران (با محوریت بوکان-شاهین‌دژ)، (۲) سلسله جبال البرز، (۳) فلات ایران مرکزی و (۴) ارتفاعات زاگرس (قبابی و هوشمندزاده، ۱۳۷۴، میرصادقی و میرآکی، ۱۳۷۵) و از نظر توزیع زمانی به ۵ پریود زمانی، (۱) پرمین، (۲) پرمو-تریاس، (۳) تریاس، (۴) تریاس فوکانی-ژوراسیک و (۵) کرتاسه میانی (تورونین-سانتونین) (سهیلی‌نیا، ۱۳۸۳) قابل تفکیک می‌باشند.

لایه‌ها و عدسی‌های بوکسیتی در محدوده زمانی پرمین تا تریاس در شمال غرب ایران که یکی از جاذب‌ترین و چشمگیرترین سیماهای زمین‌شناسی این ناحیه از کشور محسوب می‌شوند تاکنون از نظر زمین‌شناسی اقتصادی کمتر مورد توجه قرار گرفته‌اند. بررسی‌های انجام شده بر روی این نهشته‌ها، تاکنون بیشتر بصورت اکتشافات چکشی، فراوری مواد معدنی و شناسایی پتانسیل‌های مواد دیرگذار بوده است. با توجه به مسائل مطروحة فوق، بررسی کانسنگ‌های بوکسیتی این ناحیه از کشور سعی گردیده به عنوان موضوع پایان‌نامه دکتری انتخاب گردید. در تحقیق و بررسی کانسنگ‌های بوکسیتی این ناحیه از کشور سعی گردیده با تکیه بر بررسی‌های صحراایی، کانی‌شناسی و ژئوشیمیایی، اطلاعات کامل و جامعی از وضعیت زمین‌شناسی، منشاء، محیط تشکیل، تیپ و ویژگی‌های ژنتیکی نهشته‌های بوکسیتی، مکانیسم‌های هوازدگی، تیپ‌های کانیایی و فرایندهای ژنتیکی موثر در شکل‌گیری آنها، فاکتورهای کنترل کننده توزیع عناصر اصلی، فرعی، جزئی و کمیاب خاکی در پروفیل‌های بوکسیتی، بازه تغیرات pH و Eh محلولهای هوازده کننده، ارزیابی اقتصادی - کاربردی و نهایتاً نحوه بوکسیت‌زایی آنها ارائه شود. امید است نتایج بدست آمده از این مطالعه بتواند برای اکتشاف و شناسایی پتانسیل‌های بالقوه کانسنگ‌های بوکسیتی در این ناحیه و سایر نواحی بوکسیتی کشور مفید و موثر واقع شده و برای ارزیابی کیفیت این نوع کانسنگ‌ها قابل تعمیم برای سایر ذخایر بوکسیتی پرمین تا تریاس کشور باشد.

فصل اول

بررسی منابع

۱-۱- تعاریف و مفاهیم اولیه

واژه بوکسیت برای اولین بار در سال ۱۸۲۱ توسط برثیر (Berthier) برای رسوبات غنی از آلمینیا در ناحیه لس بوکس (Les Baux) فرانسه بکار رفته است. از نظر باردوسی (Bardossy, 1982)، بوکسیت یک ماده معدنی رسوبی غنی از مواد آلیتیک (Allitic) است که در نتیجه هوازدگی سنگهای مختلف در آب و هوای گرم یا نیمه گرم با توجه به مورفلوژی و زهکشی مناسب تشکیل شده و مجموع هیدروکسیدها و یا اکسیدهای آلمینیوم، آهن و تیتان موجود در آن بیش از ۵۰ درصد وزنی بوده و اکسیدهای آلمینیوم یا هیدروکسیدهای آن بیشترین مقدار آن را تشکیل می‌دهند. بوکسیت سابقاً به عنوان یک کانی بی‌شکل که اساساً از آلمینیای هیدراته ($\text{Al}_2\text{O}_3 \cdot 2\text{H}_2\text{O}$) تشکیل یافته، در نظر گرفته می‌شده است اما امروزه از نظر کانی شناسی مشخص کننده ماده‌ای است که مخلوطی از چند اکسید هیدراته آلمینیوم بوده و مقدار آلمینیوم آن در حد وسیعی متغیر است (Bardossy, 1982). بوکسیت، هیدروژل (hydrogel) سخت شده با بخش‌های متبلور بوده و نسبتهاي متغيری از کانیهای گیسیت یا هیدروآرژیلیت، بوهمیت و دیاسپور را دارا می‌باشد. این سنگ که برخی آن را لاتریت پرآلومینا نامند (Bardossy and Aleva, 1990; Aleva, 1994) به رنگهای سفید، خاکستری کم رنگ، خاکستری تیره، زرد، قرمز روشن، قهوه‌ای، قهوه‌ای صورتی، قهوه‌ای تیره، بنفش، سبز و سبز تیره و عمدها "به اشکال کنکرسیونی، متراکم، خاکی، پیزولیتی و اوولیتی یافت می‌شود. از نظر صنعتی اصطلاح کانسنگ بوکسیت، در مورد بوکسیتی بکار می‌رود که

مقدار آلومینا در آن بیشتر از ۴۵ الی ۵۰ درصد وزنی، مقدار اکسید سیلیسیوم حداقل ۲۰ درصد وزنی و مقدار اکسید آهن حداقل ۳ الی ۵ درصد وزنی باشد (Bardossy, 1982). برانووی و همکاران (Bronevoi et al., 1985) متوسط ترکیب شیمیایی بوکسیت را بر اساس آنالیز شیمیایی ۶۷۰۰ نمونه‌ی جمع آوری شده از ۴۸ محدوده‌ی کانساری در دنیا به شرح جدول ۱-۱ ارائه نموده‌اند.

۱-۲- کاویره

تقرباً ۸۵٪ کانسنگ‌های بوکسیتی برای استخراج فلز آلومینیوم و ۱۵٪ باقیمانده برای مصارف غیر متالورژیکی معدنکاری می‌شوند (Plunkert, 1999, 2001, 2003). از مهمترین مصارف غیر متالورژیکی کانسنگ‌های بوکسیتی می‌توان به استفاده از آنها در صنایع نسوز، تهیه سایندها، تولید انواع سیمان، صنایع شیمیایی، صنعت فولاد، مصارف ساختمانی و صنعت نفت اشاره نمود (Meyer, 2004).

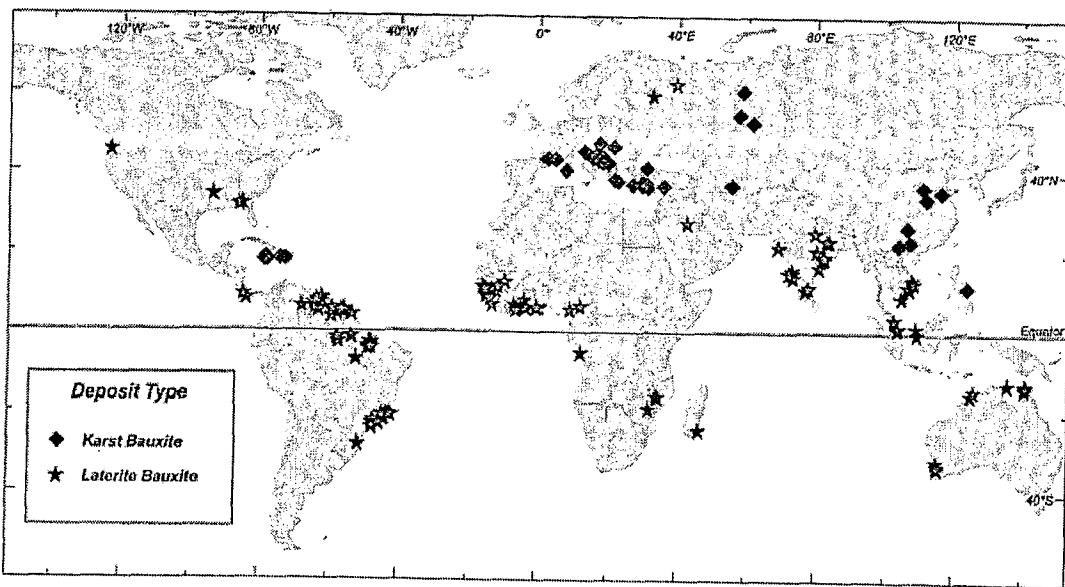
۱-۳- انواع کانسارهای بوکسیت

کانسارهای بوکسیت از نظر ماهیت و موقعیت زمین‌شناسی بسیار متنوع بوده و طبقه‌بندی‌های مختلفی برای آنها بر اساس فاکتورهایی چون منشاء، سن، نحوه تشکیل، جایگاه تجمع، ترکیب سنگ مادر، موقعیت ژئوتکتونیکی، ترکیب شیمیایی، شکل کانسار، موقعیت توپوگرافی، ترکیب کانی‌شناسی و لیتولوژی سنگ بستر ارائه شده است (Valeton, 1972; Bardossy, 1982; Patterson et al, 1986; Oggiano et al., 1987; Bardossy and Aleva, 1990) کانسارهای بوکسیت که به نوعی سایر طبقه‌بندی‌ها را هم در بر می‌گیرد، طبقه‌بندی کانسارهای بوکسیت بر اساس لیتولوژی سنگ بستر می‌باشد (Bardossy, 1982; Bardossy and Aleva, 1990). بر این اساس کانسارهای بوکسیت به دو دسته کلی تقسیم بندی می‌شوند:

- ۱- کانسارهای بوکسیت با سنگ بستر آلومینوسیلیکاته که خود به دو تیپ کلی زیر قابل تفکیک می‌باشند:
 - الف- کانسارهای بوکسیت لاتریتی (Lateritic bauxite deposits): این کانسارها از لاتریتی شدن در جازا بر روی سنگ‌های آلومینوسیلیکاته حاصل شده‌اند.
 - ب- کانسارهای نوع تیخوین (Tikhvin-type deposits): این کانسارها از پروفیل‌های لاتریتی بازماندی سرچشمه گرفته و پس از انتقال، بصورت نابرجا بر روی سنگ‌های آلومینوسیلیکاته قرار گرفته‌اند.
- ۲- کانسارهای بوکسیت با سنگ بستر کربناته (بوکسیت‌های کارستی): این کانسارها بر روی سنگ‌های کربناته (بدون توجه به شدت کارستی شدن آنها) قرار گرفته‌اند.

جدول ۱-۱- متوسط ترکیب شیمیایی بوکسیت (Bronevoi et al., 1985)

| Atomic number | Element | Threshold Of detection (gr/t) | Relative error of analysis | Ranges (ppm) | | Weighted average (gr/t) | Concentration Coefficient |
|---------------|---------|-------------------------------|----------------------------|--------------------|------------------|-------------------------|---------------------------|
| | | | | Individual samples | Deposit averages | | |
| 1 | H | - | 2.4 | - | - | 28100 | 5.7 |
| 3 | Li | 0.5 | 17-35 | 0.5-660 | 0.6-320 | 12 | 0.20 |
| 4 | Be | 0.5 | 7.0 | 0.5-17 | 0.7-7.4 | 0.9 | 0.26 |
| 6 | C | 1.0 | 30 | 890-15100 | 1480-11100 | 2680 | 0.17 |
| 8 | O | - | 1.5 | - | - | 557000 | 0.88 |
| 9 | F | 50 | 28 | 50-1300 | 60-930 | 228 | 0.30 |
| 11 | Na | 300 | 21 | 300-17800 | 380-5400 | 2060 | 0.12 |
| 12 | Mg | 60 | 15 | 66-11100 | 121-7480 | 356 | 0.012 |
| 13 | Al | 100 | 1.0 | 203000-325000 | 213000-314000 | 268000 | 2.3 |
| 14 | Si | 200 | 3.8 | 4180-167000 | 5140-85600 | 23800 | 0.068 |
| 15 | P | 20 | 20 | 20-3650 | 95-2150 | 422 | 0.40 |
| 16 | S | 10 | 16 | 10-24000 | 60-75000 | 419 | 0.095 |
| 19 | K | 300 | 42 | 300-12600 | 360-4140 | 523 | 0.019 |
| 20 | Ca | 70 | 11 | 150-36000 | 393-28400 | 1900 | 0.036 |
| 21 | Sc | 1 | 10-20 | 8-180 | 10-120 | 25 | 1.3 |
| 22 | Ti | 300 | 7.8 | 4170-56700 | 5640-46500 | 13500 | 1.8 |
| 23 | V | 3 | 36 | 18-1550 | 77-1370 | 291 | 1.5 |
| 24 | Cr | 70 | 7-33 | 70-8660 | 85-5100 | 419 | 2.5 |
| 25 | Mn | 80 | 25 | 80-2320 | 87-1250 | 188 | 0.15 |
| 26 | Fe | 700 | 1.8 | 31700-242000 | 44400-189000 | 103000 | 1.3 |
| 27 | Co | 5 | 38 | 5-180 | 7-70 | 18 | 0.51 |
| 28 | Ni | 5 | 38 | 5-670 | 7-320 | 29 | 0.20 |
| 29 | Cu | 2 | 9 | 5-200 | 10-133 | 28 | 0.31 |
| 30 | Zn | 2 | 14 | 18-460 | 28-180 | 46 | 0.36 |
| 31 | Ga | 10 | 5-7 | 26-130 | 40-110 | 71 | 2.11 |
| 32 | Ce | 0.005 | 17 | 0.2-5.5 | 0.5-4.5 | 0.7 | 0.28 |
| 33 | As | 5 | 15 | 5-136 | 19-115 | 48 | 7.5 |
| 34 | Sc | 0.01 | 31 | 0.01-0.38 | 0.1-2.4 | 0.2 | 0.37 |
| 38 | Sr | 30 | 30 | 30-3000 | 35-2010 | 298 | 0.51 |
| 40 | Zr | 30 | 16 | 40-1300 | 174-675 | 380 | 1.6 |
| 41 | Nb | 10 | 17-27 | 10-560 | 14-93 | 45 | 1.6 |
| 47 | Ag | 0.5 | 13 | 1.1-4.4 | 1.9-4.2 | 3.7 | 27.0 |
| 49 | In | 0.01 | 5 | 0.01-0.68 | 0.03-0.32 | 0.22 | 1.3 |
| 50 | Sn | 5 | 24 | 5-23 | 6-14 | 10 | 1.1 |
| 51 | Sb | 0.5 | 40 | 0.5-24 | 0.6-8.6 | 2.4 | 2.0 |
| | ΣRE | 5 | 6-18 | 20-3600 | 58-806 | 201 | 1.1 |
| 57 | La | 2 | 15 | 2-206 | 9-170 | 31 | 0.6 |
| 63 | Eu | 0.5 | 15 | 0.5-11 | 1-5 | 1.7 | 1.0 |
| 65 | Tb | 0.1 | 15 | 0.1-5.0 | 0.3-3.0 | 0.8 | 0.58 |
| 70 | Yb | 1.0 | 15 | 1.0-28 | 2.8-17 | 7 | 1.8 |
| 72 | Hf | 3 | 15 | 3-50 | 5-29 | 27 | 4.9 |
| 73 | Ta | 0.1 | 11 | 0.4-5.1 | 0.7-3.9 | 2.6 | 0.73 |
| 81 | Tl | 0.05 | 6-60 | 0.05-0.67 | 0.06-0.4 | 0.1 | 0.092 |
| 82 | Pb | 4 | 21 | 10-300 | 20-185 | 48 | 2.2 |
| 83 | Bi | 0.01 | 68 | 0.01-9 | 0.2-2.2 | 0.9 | 3.3 |
| 90 | Th | 0.5 | 24 | 2-73 | 6-56 | 30 | 2.8 |
| 92 | U | 0.1 | 15.20 | 0.2-32 | 2-22 | 6.4 | 2.0 |



شکل ۱-۱ - توزیع جغرافیایی کانسارهای بوکسیت کارستی و لاتریتی در دنیا (Meyer, 2004)

با توجه به کانسارهای بوکسیت شناسایی شده در دنیا، ۸۸٪ کانسارهای بوکسیت به تیپ لاتریتی، ۱۱٪ به تیپ کارستی و ۱٪ به تیپ تیخوین تعلق دارند (Bardossy, 1982; Bardossy and Aleva, 1990). شکل ۱-۱ موقعیت کانسارهای بوکسیت تیپ لاتریتی و کارستی را در دنیا نشان می‌دهد.

باردوسی (Bardossy, 1982) در مورد بوکسیت‌های کارستی تقسیم‌بندی جزئی‌تری را مطرح نموده و ذخایر کارستی دنیا را بر اساس خصوصیات نهشته شناسی و مورفولوژی آنها به ۶ دسته کلی زیر تقسیم‌بندی کرده است:

(۱) کانسارهای نوع مدیترانه‌ای (Mediterranean-type deposits)

(۲) کانسارهای نوع تیمان (Timan-type deposits)

(۳) کانسارهای نوع قراقستان (Kazakhstan-type deposits)

(۴) کانسارهای نوع آریج (Ariège-type deposits)

(۵) کانسارهای نوع سالنتو (Salento-type deposits)

(۶) کانسارهای نوع تولسک (Tulsk-type deposits)

باردوسی (Bardossy, 1982) همچنین بر اساس توزیع جغرافیایی کانسارهای بوکسیت کارستی در دنیا، آنها را به ۷ کمربند معدنی زیر تقسیم‌بندی کرده است:

(۱) کمربند ساحلی شمال مدیترانه

(۲) کمربند حوضه دریای کارائیب

(۳) کمریند اورال-سیبری-آسیای مرکزی

(۴) کمریند آسیای شرقی

(۵) کمریند ایرانو-هیمالیا

(۶) کمریند جنوب غرب پاسیفیک

(۷) کمریند شمال آمریکا

مشخصات توزیع سنی کانسارهای بوکسیت کارستی به همراه تنازه‌های مربوطه و همچنین توزیع تیپ‌های کانساری در جداول

۱-۲ و ۳-۲ آورده شده‌اند.

جدول ۱-۲- توزیع سنی تنازه بوکسیت در زون‌های بوکسیت کارستی جهان (Bardossy, 1982).

| Geological age | Mediterranean | | Irano-Himalayan | | Pacific | | East Asian | | Uralo-Sibero-Central Asian | | Caribbean | | North American | | |
|------------------|---------------------|-----|---------------------|-----|---------------------|-----|---------------------|-----|----------------------------|-----|---------------------|-----|---------------------|-----|----|
| | | | | | | | | | | | | | | | |
| | 10 ⁶ ton | % | 10 ⁶ ton | % | 10 ⁶ ton | % | 10 ⁶ ton | % | |
| Quaternary | - | - | - | - | 122 | 100 | - | - | - | - | - | - | - | - | - |
| Miocene- | 30 | <1 | - | - | - | - | 80 | 8 | - | - | 1390 | 100 | - | - | - |
| Pliocene | 20 | <1 | - | - | - | - | - | - | - | - | - | - | - | - | - |
| Paleocene- | 491 | 18 | 30 | 23 | - | - | - | - | 238 | 20 | - | - | - | 17 | 46 |
| Eocene | | | | | | | | | | | | | | | |
| Upper Cretaceous | 1179 | 46 | 11 | 9 | - | - | 1 | <1 | 310 | 26 | - | - | - | - | - |
| Lower Cretaceous | 237 | 10 | 5 | 4 | - | - | - | - | 71 | 6 | - | - | - | - | - |
| Jurassic | 300 | 13 | 10 | 8 | - | - | - | - | 5 | <1 | - | - | - | - | - |
| Triassic | 193 | 8 | 46 | 36 | - | - | - | - | 13 | 1 | - | - | - | - | - |
| Permian | 83 | 3 | 25 | 20 | - | - | 273 | 26 | - | - | - | - | - | - | - |
| Carboniferous | - | - | - | - | - | - | 660 | 66 | 100 | 8 | - | - | 20 | 54 | - |
| Devonian | - | - | <1 | 1 | - | - | - | - | 405 | 35 | - | - | - | - | - |
| Silurian | - | - | - | - | - | - | - | - | - | - | - | - | - | - | - |
| Ordovician | - | - | - | - | - | - | - | - | 1 | <1 | - | - | - | - | - |
| Cambrian | - | - | - | - | - | - | - | - | 30 | 3 | - | - | - | - | - |
| Altogether | 2533 | 100 | 128 | 100 | 122 | 100 | 1014 | 100 | 1173 | 100 | 1390 | 100 | 37 | 100 | |

جدول ۱-۳- توزیع تیپ نهشته‌ها در زون‌های بوکسیتی به همراه تنازه‌های مربوطه (Bardossy, 1982).

| Karst bauxite zones | Mediterranean | | Timan | | Kazakhstan | | Ariege | | Salento | |
|----------------------------|-------------------|---------------------|-------------------|---------------------|-------------------|---------------------|-------------------|---------------------|-------------------|---------------------|
| | Number of deposit | 10 ⁶ ton |
| Mediterranean | 95 | 2341 | - | - | - | - | 4 | 142 | 5 | 50 |
| Irano-Himalayan | 15 | 128 | - | - | - | - | - | - | - | - |
| pacific | 7 | 122 | - | - | - | - | - | - | - | - |
| East Asian | 3 | 123 | 6 | 810 | 1 | 1 | - | - | 2 | 80 |
| Uralo-Sibreo-Central Asian | 14 | 353 | 7 | 212 | 154 | 608 | - | - | - | - |
| Caribbean | 11 | 1390 | - | - | - | - | - | - | - | - |
| North American | - | - | 1 | 10 | 4 | 27 | - | - | - | - |
| Altogether | 145 | 4457 | 14 | 1032 | 20 | 636 | 4 | 142 | 7 | 130 |